

کاهش نویز در تصاویر پزشکی هسته ای

ارزیابی کمی روشهای نوین و سنتی در کاهش نویز تصاویر پزشکی هسته ای

- شنیم علومی^۱، دکتر حسین رجبی^۲، دکتر سید رسول ذکوی^۳، دکتر ابراهیم حاجی زاده^۴، حمیدرضا غیاثی^۵
- ۱ دانشجوی دکتری تخصصی فیزیک پزشکی، دانشکده پزشکی، دانشگاه علوم پزشکی مشهد
 - ۲ استادیار گروه فیزیک پزشکی، دانشگاه تربیت مدرس تهران
 - ۳ داشیار گروه پزشکی هسته ای دانشگاه علوم پزشکی مشهد
 - ۴ کارشناس ارشد فیزیک پزشکی، بیمارستان طرفه تهران

تاریخ دریافت نسخه اصلاح شده: ۸۵/۲/۱۹

تاریخ پذیرش مقاله: ۸۵/۹/۲۶

چکیده

مقدمه: یکی از مهمترین اشکالات در تصاویر پزشکی هسته ای وجود نویز همراه با آن می باشد. معمول ترین روش جهت کاهش این نویز تجزیه و تحلیل اطلاعات تصویری در فضای فوریه است. مشکل اصلی در بررسی یک سیگنال در فضای فوریه، مربوط به نسبت سیگنال به نویز پایین در بسامدهای بالاست زیرا حذف نویز باعث حذف سیگنال نیز می شود. علاوه بر این در تبدیل فوریه اطلاعات زمانی سیگنال از بین می رود، این مشکل هنگامی بیشتر خودنمایی می کند که بدانیم اکثر سیگنالهای مهم در طبیعت با زمان تغییراتی دارند که بسیار با اهمیت است. در این تحقیق هدف بررسی تبدیل موجک به عنوان یک روش نوین در بهبود کیفیت تصاویر پزشکی هسته ای است.

مواد و روشهای تصویربرداری: تصویربرداری از فانتوم^۴ لایه، شبیه به فانتوم مغز هافمن با^۵ ۱۰۰ هزار شمارش به عنوان تصویر مرجع و همچنین با ۱۰۰ تا ۷۰۰ هزار شمارش در اولین مرحله انجام گرفت. سپس مقادیر مختلفی از نویز گوسی به تصویر مرجع اضافه شد. تصاویر شبیه سازی شده با نرم افزار Simset و فانتوم NCAT نیز تولید شد. تبدیل موجک و فیلترهای باترورث^۱، متز^۲، وینر^۳ و هنینگ^(۳×۳)^۶ با شرایط مختلف بر روی تصاویر اعمال شد و در نهایت ارزیابی تصاویر به صورت کمی با استفاده از شاخص جامع کیفیت تصویر^۵ انجام گرفت.

نتایج: تبدیل موجک باعث افزایش کیفیت تصاویر شاخص جامع کیفیت=۰/۷۳۵۲ شد. این تبدیل بهترین نبود ولی توانست هم پای فیلترها نویز را کاهش دهد. همچنین اثر تبدیل موجک در افزایش کیفیت تصاویر بیشتر از فیلترهای باترورث (شاخص جامع کیفیت=۰/۳۵۵۶) و متز (شاخص جامع کیفیت=۰/۳۴۹۳) و تقریباً در حد وینر (شاخص جامع کیفیت=۰/۷۶۲۶) و هنینگ (۳×۳) (شاخص جامع کیفیت=۰/۸۰۱۷) است.

بحث و نتیجه گیری: بررسی آستانه های مختلف و طراحی آستانه های خاص برای اعمال تبدیل موجک بر روی تصاویر پزشکی هسته ای می تواند باعث قوی تر شدن این روش در گستره پزشکی هسته ای شود. (مجله فیزیک پزشکی ایران، دوره ۳، شماره ۱۰، بهار ۸۵: ۴۴-۳۵)

واژگان کلیدی: تبدیل موجک، فیلتراسیون، کاهش نویز، پزشکی هسته ای

- 1 - Butterworth
- 2 - Metz
- 3 - Wiener
- 4- Hanning
- 5 - Universal Image Quality Index(UIQI)

* نویسنده مسئول: شبنم علومی
آدرس: گروه فیزیک پزشکی، دانشکده پزشکی، دانشگاه علوم پزشکی مشهد
shabnamolumi@yahoo.ca
تلفن: +۹۸ (۰۱۱)-۸۵۱۵۱۱۰

فیلتراسیون تصاویر پزشکی هسته ای هنوز بصورت کامل حل نشده است و زمینه پژوهش همچنان باز و تقاضا برای روش های جدید همچنان وجود دارد.

یکی از روش های کاهش نویز که اخیراً مورد توجه قرار گرفته استفاده از تبدیل موجک می باشد که توانائی آن در کاهش برخی از انواع نویز به اثبات رسیده است و تحقیقات فراوانی در مورد یافتن کاربردهای آن در شاخه های مختلف علوم در جریان است [۵-۷].

مبنای ریاضی تحلیل موجک به کار جوزف فوریه در قرن ۱۹ برمی گردد. آلفرد هار^۱ در سال ۱۹۰۹ اوئین تئوری را در مورد آنچه که ما اکنون موجک می نامیم، بیان کرد. مفهوم نظری موجک به صورتی که اکنون وجود دارد اوئین بار توسط جان مورلت^۲ بیان شد و سپس میر^۳ آن را دنبال کرد و باعث پیشرفت این نظریه شد. استفان مالات^۴ در سال ۱۹۸۸ الگوریتم اصلی موجک را نوشت، بعد از این زمان بود که تحقیق در مورد موجک تبدیل به یک کار جهانی شد و دابیشس^۵ و کویفمن^۶ و ویکرهاسر^۷ هم پژوهش‌های ارزنده‌ای در این زمینه انجام دادند. اکنون نیز نظریه موجک به سرعت در حال رشد است.

برتری موجک نسبت به روش‌های فیلتراسیون (برمبنای تحلیل فوریه) که تا کنون بکار می رفته را می توان به صورت زیر خلاصه کرد:

در این روش همانند تحلیل فوریه سریع از پنجره گذاری استفاده می شود ولی این پنجره دارای اندازه های متغیری می باشد. آنالیز موجک اجازه می دهد تا از فواصل زمانی بزرگ هنگامی که به دقت و اطلاعات بیشتری در بسامدهای

2 - Alfred Haar

3 - Jean Morlet

4 - Meyer

5 - Stephane Mallat

6 - Daubechies

7 - Coifman

8 - Wickerhauser

۱- مقدمه

تصاویر و اطلاعات بدست آمده در رشته ها و زمینه های مختلف علمی معمولاً با نویز و سایر اغتشاشات مربوط به چشم های مختلف همراه است، تصاویر پزشکی هسته ای نیز از این قاعده مستثنی نیستند. نویز پواسن بر روی این تصاویر سوار شده و باعث تخریب تصویر می شود، بنابراین برای افزایش کیفیت تصاویر نیاز است که اثر این آلوده کننده ها کم شود.

روش بنیادی برای کاهش نسبی نویز، افزایش نسبت سیگنال به نویز در تصاویر از طریق افزایش مقدار پرتودارو رادیوایزو توپ تجویز شده و یا افزایش زمان تصویر برداری است. به دلیل مسائل حفاظتی در مقدار رادیوداروی تجویزی محدودیت وجود دارد. همچنین احتمال حرکت بیمار، طول زمان تصویر برداری را محدود می سازد. لذا همواره نویز قابل توجهی در تصاویر پزشکی هسته ای وجود دارد و استفاده از فیلتر برای کاهش نویز در بسیاری از موارد اجتناب ناپذیر است [۱].

انواع زیادی از فیلترها برای کاهش نویز داده ها، طراحی و بکار گرفته می شوند. اما بطور کلی میزان موفقیت آنها به میزان زیادی بستگی به دامنه نسبی نویز و سیگنال دارد. در صورتی که دامنه نویز و سیگنال نزدیک باشند حذف نویز با کاهش قدرت تفکیک فضایی^۱ و کتراست تصویر همراه می شود. فیلترهای بهبود دهنده قدرت تفکیک فضایی همچون فیلترهای متر و وینر می توانند با افزایش برخی بسامد ها تا حدودی از کاهش قدرت تفکیک فضایی و کتراست جلوگیری کنند. اما در عمل تعیین دقیق بسامدی که باید تقویت شود بسیار دشوار است و در صورت استباه موجب ایجاد اغتشاش و خطأ در تفسیر نتایج می شود [۲].

در طول سه دهه گذشته پژوهش‌های فراوانی در جهت بهبود روش های کاهش نویز در پزشکی هسته ای صورت گرفته و فیلتر های گوناگونی نیز بکار برده شده اند [۳ و ۴]. اما مشکل

کاهش نویز در تصاویر پزشکی هسته‌ای

۲- مواد و روشها

برای تولید تصاویر از فانتوم های فیزیکی و ریاضی استفاده شد.

۱-۱- فانتوم ها

فانتوم مورد استفاده در این پژوهش نوع اصلاح شده فانتوم مغز هافمن بود، به عبارت دیگر محفظه‌ای که محلول رادیواکتیو آنرا پر می‌کند، همانند برشهای (مقاطع) مغز است. در یکی از مقاطع سعی شده که ماده سفید و خاکستری بازسازی شود، در ۲ مقطع بعدی، اشکال هندسی مختلف از جمله مستطیل، مثلث و استوانه هایی با ابعاد کوچک و بزرگ و فواصل مختلف از یکدیگر طراحی شده، اما در مقطع چهارم جسم خارجی وجود ندارد یعنی به صورت محفظه‌ای خالی با محیط مشابه مغز است.

بعد از پر کردن لایه‌ها با استفاده از محلول تکنسیم ۹۹، هر یک از چهار برش فانتوم مستقیماً بر روی کلیماتور قرار داده و تصاویر مرجع (نویز بسیار کم) با^۷ شمارش تهیه شد. در مرحله بعد تصاویر آزمون با^۸ ۱۰^۵ تا ۷*۱۰^۴ شمارش تهیه گردید. تصاویر بدست آمده با فرمت دای-کام^۴ به رایانه شخصی منتقل شد. دسته دیگری از تصاویر آزمون با افزودن سطوح مختلفی از نویز گوسی به تصویر مرجع با استفاده از نرم افزار MATLAB7 تولید شد به گونه‌ای که تصاویری با میانگین شمارش در پیکسل ۲۵، ۵۰، ... و ۱۲۵ در اختیار باشد مراحل فوق جهت حذف نوسانات آماری ۱۰ بار تکرار گردید.

۲-۲- شبیه سازی مونت کارلو

همچنین تصاویر شبیه سازی شده با نرم افزار SimSET و فانتوم NCAT (فانتوم ریاضی که در آن اندامهای مختلف از جمله قلب، کبد، طحال و ... قابل شبیه سازی است) با سطوح مختلف نویز، نیز تولید شد.

پایین و یا از فواصل زمانی کوچک هنگامی که به دقت و اطلاعات بیشتری در بسامدهای بالا نیاز است استفاده کرد [۸ و ۹].

یکی از زمینه‌های پژوهشی مهم در کاربرد موجک، پزشکی هسته‌ای و بویژه کاهش نویز پزشکی هسته‌ای می‌باشد. فیلتراسیون در حوزه بسامد با استفاده از تبدیل موجک برای اولین بار در سال ۱۹۹۷ انجام شد. این فیلترها بین حذف نویز و صاف کردن جزئیات تصویر تعادل ایجاد می‌کند [۱۰]. در سالهای اخیر، چندین روش بر پایه موجک برای مدل‌های مختلف نویز از جمله پواسن یا کاوچی^۱، توسعه پیدا کرده است [۱۱-۱۲]. یک روش غیر خطی کاهش نویز با استفاده از روش‌های آستانه گذاری نرم و سخت^۲ بر روی سیگنال الکتروکاردیوگراف بررسی شد و منجر به انقلابی در تصاویر و سیگنال‌های پزشکی در سال ۱۹۹۹ شد [۱۳]. در پژوهشی در سال ۲۰۰۱ کاهش نویز با استفاده از تبدیل موجک، شرایطی نزدیک به ایده آل را برای سیگنال‌های فیزیولوژیک در تصاویر PET ایجاد کرد. در پژوهش دیگری که انجام گرفت از تبدیل موجک ثابت^۳ برای حذف نویز قبل از هر پردازش دیگری استفاده شد [۱۴-۱۶].

با توجه به مطالب گفته شده، در این پژوهش سعی بر آن بوده است که توانایی موجک در حذف نویز از تصاویر، مورد بررسی و مقایسه با روش‌های سنتی قرار گیرد. جهت مقایسه فیلترهای متز، وینر، بترورت و هنینگ(۳×۳) مورد بررسی قرار گرفته‌اند.

1 - Cauchy

2 - Soft and hard thresholding

3 - Stationary wavelet transform

قسمت با مقیاس بالا یا بسامد پایین سیگنال و جزئیات، قسمت با مقیاس پایین یا بسامد بالای سیگنال است. در مورد خیلی از سیگنالها بخش با بسامد پایین، مهمترین قسمت است و مشخصه سیگنال است. در سطح تجزیه دوم روند بکار رفته در سطح تجزیه اول بر روی قسمت با بسامد پایین اعمال می شود. روند کاهش نویز با استفاده از تبدیل موجک را می توان در سه مرحله خلاصه کرد:

- ۱- تجزیه^۱: این مرحله شامل انتخاب موجک و سطح تجزیه (N) می باشد سپس تبدیل موجک را با استفاده از موجک و سطح تجزیه انتخابی انجام می شود.
 - ۲- آستانه گذاری بر روی ضرایب جزئیات: برای هریک از سطوح تجزیه ۱ تا N، یک آستانه انتخاب و بر روی ضرائب جزئیات اعمال می شود.
- آستانه های به کار رفته در این تحقیق عبارتند از: نرم، heursure(HS)، sqtwolog(SL)، rigrsure(RS) و minimaxi(MM).

در مورد RR میتوان گفت این آستانه نیز تخمینی از آستانه گذاری نرم براساس روش تخمین ریسک بدون تورش اشتاین^۲ می باشد در حالیکه SL یک مقدار ثابت را با توجه به رابطه $\text{sqrt}(2 * \log(\text{length}(S)))$ به عنوان آستانه ST RS و انتخاب می کند. آستانه HS ترکیبی از دو آستانه MM و ST است. اگر نسبت سیگنال به نویز خیلی پایین باشد تخمینی که Sure به عنوان آستانه می زند نیز دارای نویز زیادی است بنابراین بهتر است که در چنین شرایطی از یک عدد ثابت به عنوان آستانه استفاده کرد. آستانه MM نیز یک مقدار ثابت را براساس اصول MM انتخاب می کند [۸].

یکی از قدرتمند ترین و رایج ترین کدهای اختصاصی^۳ برای پزشکی هسته ای تشخیصی می باشد که توانایی شبیه سازی انواع سیستمهای تصویر برداری در این زمینه از جمله^۴ SPECT^۵ و PET^۶ و DHCI^۷ را دارد می باشد. این نرم افزار با بکارگیری روش های مونت کارلو به شبیه سازی مراحل فیزیکی موجود در تصویر برداری (همچون تولید فوتون و تعیین راستای اولیه تابش آن، برهمکنش های گوناگون فوتونی همچون جذب و پراکندگی با بیمار و همچنین با کولیماتور و آشکارساز) و همچنین ابزارهای مورد نیاز برای این اهداف (از جمله کولیماسیون در PET، برهمکنش ها در آشکارساز و غیره) می پردازد.

این تصاویر به دو گونه شبیه سازی شد: یکبار فعالیت در تمام بدن (در قلب، کبد، کیسه صفراء، طحال و کلیه ها در فانتوم NCAT) توزیع شد و بار دیگر فعالیت را فقط به قلب، کبد، کیسه صفرای فانتوم NCAT اختصاص دادیم. تصاویر توموگرافی شبیه سازی شده دارای ۶۴ پروژکشن می باشد ۳۲ پروژکشن اول مربوط به تصاویر مرجع یا به عبارت دیگر تصاویر حاصل از فوتون های اولیه است و در ۳۲ پروژکشن دوم تنها تصاویر حاصل از فوتون های پراکنده حضور دارند. این تصاویر مربوط به ۳۲ برش از فانتوم مربوطه در محدوده قفسه سینه می باشد. در شکل زیر نمونه ای از ۱۶ مقطع شبیه سازی از قفسه سینه مشاهده می شود.

۳-۲- تبدیل موجک

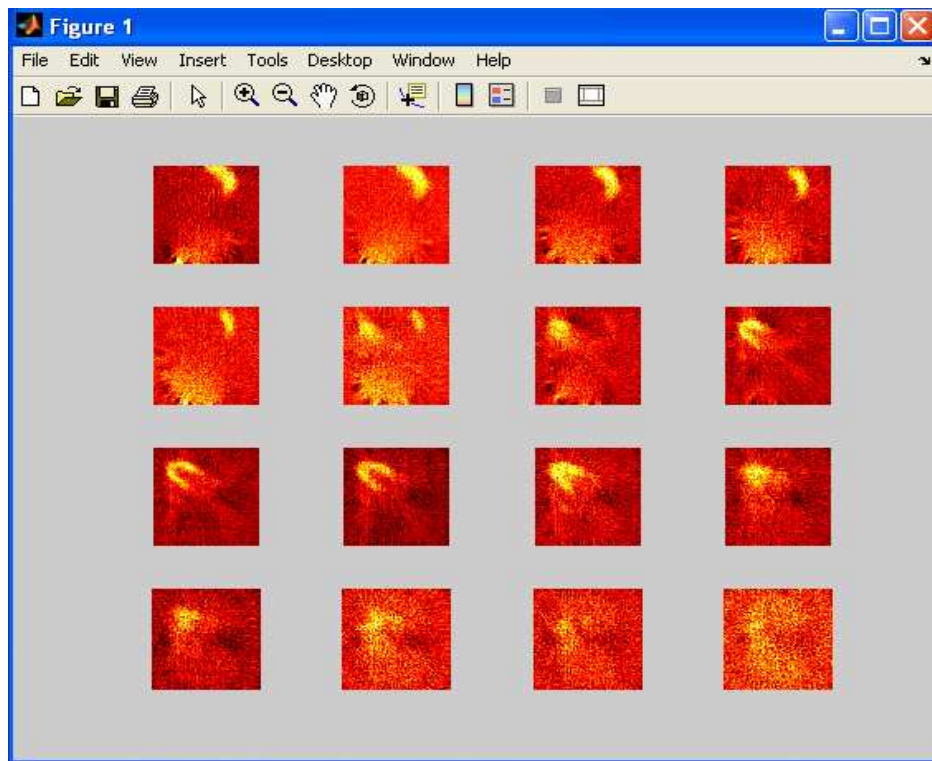
در تحلیل موجک از تقریب و جزئیات صحبت می شود، به عبارت دیگر در اولین سطح تجزیه سیگنال یا تصویر را به قسمت های با بسامد بالا و پایین تفکیک می کنند. تقریب،

1- dedicated

2- Single photon emission computed tomography

3- Positron emission tomography

4- Dual head coincidence imaging



شکل ۱-۱۶ برش از تصاویر شبیه سازی شده با نرم افزار Simset و فلتوم NCAT

برای فیلتر باترورث شیب^۴ از ۱ تا ۲۰ با فواصل واحد و بسامد قطع^۵ از ۰/۰۱ تا ۰/۰۵ با فواصل ۰/۰۱، برای فیلتر متز نیز شیب از ۱ تا ۲۰ و پهنه‌ای منحنی در نیمه بیشینه^۶ از ۰/۱ تا ۵ با فواصل ۰/۰۱ تغییر داده شد.

در مرحله بعد ۹۶ موجک متفاوت هر یک با چهار سطح تجزیه و پنج آستانه (96×20 حالت) بر روی تصاویر آزمون اعمال و مشابه مرحله قبلی نتایج به نرم افزار اکسل منتقل گردید. در این مطالعه ۴۰۰۰ پردازش برای هر موجک انجام گرفت (۹۶ موجک از ۶ خانواده) و داده‌های بدست آمده با استفاده از نرم افزار استاتیستیکا^۷ مورد تجزیه و تحلیل قرار گرفت.

۳- بازسازی^۱: بازسازی موجک با استفاده از تقریب اصلی^۲ و ضرایب تغییر داده شده جزئیات برای هریک از سطوح ۱ تا N انجام می‌شود.

۴- پردازش بر روی تصاویر

برای اعمال فیلترهای مختلف و همچنین تبدیل موجک در شرایط مختلف، چندین الگوریتم در محیط MATLAB طراحی شد. هریک از فیلترهای باترورث، متز، وینر و هنینگ(3×3) با پارامترهای مختلف بر روی تمامی تصاویر آزمون اعمال شد. و در هر حالت نتیجه - تصویر حاصل - با تصویر مرجع مربوطه مقایسه گردید. در هر مورد شاخص جامع کیفیت تصویر [۱۷] محاسبه و نتایج جهت بررسی بصورت خودکار به نرم افزار اکسل^۳ منتقل گردید.

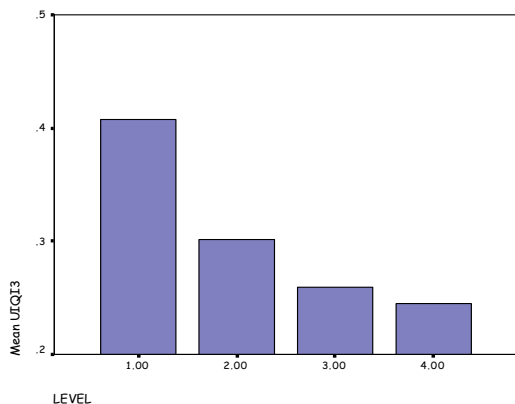
4 - Order
5 - Cut off frequency
6 - FWHM
7- Statistica

1 - Reconstruct
2 - Original Approximation
3 - Excel

ویژگیهای این موجک اشاره شده است) بهینه انتخاب شدند. در گروه دوم موجکهای راست گوشه دوگانه وارونه^{۱,۳}، راست گوشه دوگانه^{۲,۲}، راست گوشه دوگانه^{۱,۳}، راست گوشه دوگانه^{۱,۳}، راست گوشه دوگانه وارونه^{۲,۲} (که از خانواده راست گوشه دوگانه هستند و متقارن می باشند) و در گروه سوم موجکهای راست گوشه دوگانه وارونه^{۱,۳}، سیمیلت^۲، دایشز^۲ قرار گرفته اند.

۱-۳- سطوح تجزیه

تجزیه با استفاده از موجک تا ۴ سطح انجام پذیرفت. با توجه به سطح معنی داری تحلیل واریانس یکطرفه با دو روش ولچ^۶ و براون-فرسیت^۷ فرض برابری سطوح تجزیه رد شد. براساس مقایسه های زوجی به روش توکی^۸ در سطح معنی داری ۰,۰۵، همانطور که در شکل زیر نیز مشاهده می شود بالاترین شاخص جامع کیفیت به ترتیب مربوط به سطوح تجزیه ۱، ۲، ۳ و ۴ در تبدیل موجک می باشد. همچنین با توجه به شکل زیر اختلاف بین شاخص جامع کیفیت در سطح تجزیه ۱ و ۲ بیشتر از اختلاف بین ۲ و ۳ یا ۳ و ۴ است.



شکل ۲- مقایسه سطوح تجزیه مختلف بر اساس میانگین شاخص جامع کیفیت

۲-۵- ارزیابی و مقایسه تصاویر

در نهایت نتایج حاصل از اعمال تبدیل موجک و فیلترهای نام برده بر روی تصاویر دارای نویز به صورت کمی با استفاده از پارامتر شاخص جامع کیفیت مورد بررسی و مقایسه قرار گرفت. پارامتر شاخص جامع کیفیت تصویر ترکیبی از گُرلیشن^۱ و روش میانگین مربع خطأ می باشد و برای ارزیابی کیفیت تصاویر به کار می رود. شاخص جامع کیفیت تصویر برای بررسی و مقایسه کیفیت تصاویر نیاز به سه شاخص ورودی دارد که عبارتند از تصویر مرجع، تصویر اصلاح شده (تصویری که قرار است مورد مقایسه قرار بگیرد) و اندازه قاب^۲ که مشخص کننده قابی از دو تصویر است که با هم مقایسه می شود، این قاب سرتاسر دو تصویر را از گوشه بالا سمت چپ تا گوشه پایین سمت راست جاروب می کند و در نهایت یک عدد که بیانگر میزان شباهت دو تصویر است را بیان می کند این عدد بین ۱- تا ۱ متغیر است و هرچه شباهت دو تصویر به هم بیشتر باشد این عدد (شاخص جامع کیفیت) به ۱ نزدیک تر می شود.

۳- نتایج

بررسی ها نشان داد که تبدیل موجک می تواند کیفیت تصاویر پزشکی هسته ای را افزایش دهد (شاخص جامع کیفیت= ۰/۳۵۲). با قبول سطح معنی داری آزمون کمتر از ۰/۰۵ برای آزمون تحلیل واریانس یکطرفه فرض برابری موجکهای مختلف رد شد و موجک های برتر در سه گروه تقسیم بندی شدند. براساس مقایسه های زوجی با سطح معنی داری کمتر از ۰,۰۵، موجکهای هار^۳، راست گوشه دوگانه^{۱,۱} و راست گوشه دوگانه وارونه^{۱,۱} (که در قسمت ضمیمه به چند مورد از

1- Correlation

2- Block size

³- Haar

⁴- bior1.1

⁵- rbior1.1

- 6- Welch
7- Brown- Forsythe
8- Tukey

۲-۳-آستانه ها

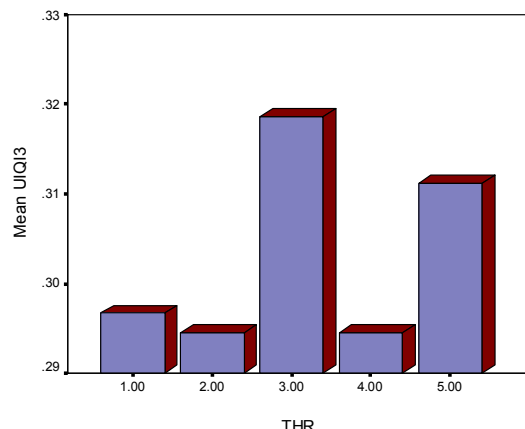
۳-۳-ارزیابی فیلترها و مقایسه با تبدیل موجک

در این تحقیق اثر فیلترهای باترورث و متز، هنینگ(3×3) و وینر نیز بررسی شد تا بتوان مقایسه ای بین تبدیل موجک به عنوان یک روش جدید و فیلتراسیون به عنوان یک روش سنتی برای کاهش نویز انجام داد. براساس آزمون ولچ و براون-فرسیت فرض برابری فیلترها و تبدیل موجک رد شد. براساس مقایسه های زوجی به روش توکی با سطح معنی داری 0.05 ، بین تبدیل موجک با هریک از فیلترهای ذکر شده در نتایج قبلی اختلاف معنی داری مشاهده شد.

همانگونه که در جدول ۱ نشان داده شده، هرچند از لحاظ آماری اختلاف معنی داری بین موجک و گروه های وینر و هنینگ(3×3) و نیز موجک و گروه باترورث و متز وجود دارد، اختلاف بین تبدیل موجک با فیلترهای وینر و هنینگ (3×3) نسبت به تبدیل موجک با فیلترهای باترورث و متز کمتر است. به عبارت دیگر می توان گفت تبدیل موجک از دید کمی اثر بهتری بر روی بهبود کیفیت تصاویر پزشکی هسته ای نسبت به فیلترهای معمول باترورث و متز دارد.

همانطور که گفته شد در این تحقیق از ۵ روش مختلف برای آستانه گذاری استفاده شد. براساس آزمون ولچ و براون-فرسیت (آزمونهای نیرومند) با توجه به اینکه سطح معنی داری آزمون کمتر از 0.05 است، فرض برابری روشهای آستانه گذاری رد شد یعنی اختلاف بین آستانه های نرم، SL، RS و HS و MM معنی دار است.

براساس مقایسه های زوجی به روش توکی با سطح معنی داری 0.05 ، آستانه های MM و SL به عنوان بهینه انتخاب شد و بعد از آن به ترتیب آستانه های نرم، HS و RS قرار داشتند، همانطور که در شکل زیر نشان داده شده است. لازم به تذکر است که بین آستانه های HS و RS اختلاف معنی دار وجود ندارد.



شکل ۲- مقایسه آستانه های نرم: sqrtlog ، rsqrsure ، tgrsue ، heursure و minimaxi بر اساس میانگین شاخص جامع کیفیت:

جدول ۱- مقایسه میانگین و انحراف معیار فیلترهای مختلف با تبدیل موجک

فیلتر	میانگین شاخص جامع کیفیت	انحراف معیار	Std. Error	جامع کیفیت	بیشترین شاخص جامع کیفیت
باترورث	۰/۳۵۵۶	۰/۰۶۲۳	۰/۰۰۴۴	۰/۲۱۸۸	۰/۴۲۵۶
متز	۰/۳۴۹۳	۰/۰۶۰۸	۰/۰۰۴۳	۰/۲۱۲۹	۰/۴۱۶۷
وینر	۰/۷۶۲۶	۰/۰۷۱۹	۰/۰۰۵۰	۰/۶۳۴۴	۰/۸۷۵۶
هنینگ(3×3)	۰/۸۰۱۷	۰/۰۷۰۲	۰/۰۰۴۹	۰/۶۶۵۸	۰/۸۹۲۱
تبدیل موجک	۰/۷۳۵۲	۰/۰۵۸۳	۰/۰۰۴۱	۰/۶۳۲۴	۰/۸۳۷۱

را بر روی ضرایب جزئیات اعمال و عوامل نامطلوب با بسامد بالا را تا حد قابل قبولی حذف کرد.

این تحقیق برتری موجک نسبت به همه فیلتر های مورد بررسی را اثبات نمی کند اما نشان داد که تبدیل موجک می تواند هم‌دیف این فیلترها بکار گرفته شود.

در نگاه اول مشاهده می شود که انحراف معیار موجک تفاوت زیادی با انحراف معیار فیلترهای مختلف ندارد ولی با توجه به جدول ۱ می توان گفت نسبت میانگین به انحراف در تبدیل موجک بیشترین مقدار را به خود اختصاص داده، پس انحراف معیار پایین (در مقایسه با میانگین) می تواند به عنوان یکی از امتیازات تبدیل موجک نام برده شود.

همچنین با توجه به ارزیابی کمی به ترتیب فیلترهای وینر، هنینگ، تبدیل موجک، با ترورث و متز بهترین اثر را در افزایش کیفیت تصاویر پزشکی هسته ای دارند.

نکته بسیار اساسی در این تحقیق آنست که آستانه های استفاده شده در تبدیل موجک هیچ کدام اختصاصا برای تصاویر پزشکی هسته ای طراحی نشده بودند اما با این وجود اثر بالقوه تبدیل موجک در حد فیلترهایی بود که اختصاصا برای پزشکی هسته ای طراحی شده اند. به نظر می رسد با طراحی آستانه های اختصاصی برای پزشکی هسته ای اثر موجک در کاهش نویز قابل افزایش باشد.

همچنین انجام تحقیقی به منظور بررسی اثر تبدیل موجک در کاهش نویز تصاویر بالینی به منظور رسیدن به نتیجه قطعی در مورد اثر تبدیل موجک پیشنهاد می شود.

همانطور که در جدول بالا مشاهده می شود مهمترین برتری تبدیل موجک نسبت به روش‌های سنتی پایین بودن انحراف معیار - در حالیکه میانگین بزرگی دارد - است، که این خود باعث تکرارپذیری بالا می شود همچنین به راحتی می توان تبدیل موجک را بر روی تصاویر مختلف اعمال کرد.

۴- بحث و نتیجه گیری

تصاویر پزشکی هسته ای دارای کیفیت بسیار پایینی می باشند بنابراین تلاش برای کاهش عوامل تخریب کننده تصویر و بهبود کیفیت تصویر از اهمیت زیادی برخوردار است. در تحقیق حاضر از روش تبدیل موجک برای کاهش نویز در برخی از تصاویر پزشکی هسته ای استفاده شد.

با توجه به نتایج بدست آمده در این مطالعه، به نظر می رسد که تبدیل موجک می تواند باعث کاهش نویز در تصاویر پزشکی هسته ای شود.

بالاترین میانگین شاخص جامع کیفیت در تبدیل موجک به ترتیب مربوط به سطوح تجزیه ۱، ۲، ۳ و ۴ می باشد، بنابراین با توجه به مطالب ذکر شده اگر از لحظه کیفی، کیفیت تصویر قابل تایید باشد بهتر است که تجزیه با روش تبدیل موجک را برای یک سطح تجزیه به منظور کاهش نویز و همچنین حفظ ویژگیهای تصویر انجام داد.

بررسی های انجام شده نشان داد که آستانه های MM, SL, RS و HS به ترتیب از راست به چپ بالاترین میانگین های شاخص جامع کیفیت را به خود اختصاص داده اند به عبارت دیگر در زمانی که از تبدیل موجک برای کاهش نویز در تصاویر پزشکی هسته ای استفاده می شود می توان بدون در نظر گرفتن موجک یا سطح تجزیه انتخابی، آستانه های SL و MM

منابع

1. Gillen G. a simple method for measurement of local statistical noise levels in SPECT. *Phys Med Biol*, 1992; 37(7):1573-1579.
2. LaereK V, Koole M, Lemahieu I, Dierckx R. Image filtering in single-photon emission computed tomography: principles and applications. *Comput Med Imaging Graph*, 2001;25(2):127-133.
3. Hannequin, Mas. Application of iterative and non-stationary smoothing filters for statistical noise reduction in nuclear medicine. *Nucl Med Commun*, 1998;19:875-885.
4. Izquierdo M.A, Hernandez M.G, Graullera O, Ullate LG. Time-frequency Wiener filtering for structural noise reduction. *Ultrasonics*, 2002; 40(1-8):259-61.
5. Lin J, Sciacca R, Chou R, Laine A, Bergmann S. Quantification of Myocardial Perfusion in Human Subjects Using ^{82}Rb and Wavelet-Based Noise Reduction. *J Nucl Med* 2001; 42:201–208.
6. Wang X.H, Istepanian R.S, Song Y.H. Microarray image enhancement by denoising using stationary wavelet transforms. *IEEE Trans Nanobioscience*, 2003;2(4):184-9.
7. ChenZ, Ning R. Computerized Medical Imaging and Graphics Breast volume denoising and noise characterization by 3D wavelet transform. *Comput Med Imaging Graph*, 2004; 28(5):235-246.
8. Donoho, D.L. Johnstone I.M. Ideal spatial adaptation by wavelet shrinkage. *Biometrika*, 1994;81:425-455.
9. Donoho D.L. De-noising by soft-thresholding. *IEEE Trans. on Inf. Theory*, 1995;41(3):613-627.
10. Nowak R, Baraniuk R. Wavelet-Domain filtering for photon imaging systems. *IEEE Trans Image Process* 1997; 6(5):55-66.
11. Smoothness estimates for soft-threshold denoising via translation invariant wavelet transforms. Berkner K, Wells R. Department of Mathematics, Rice University 1998. Available at: <http://citeseer.ist.psu.edu/berkner98smoothness.html>.
12. Lin J, Sciacca R, Chou R, Laine A, Bergmann S. Quantification of Myocardial Perfusion in Human Subjects Using ^{82}Rb and Wavelet-Based Noise Reduction. *J Nucl Med*, 2001; 42: 201–208.
13. Tikkanen P.E. Nonlinear wavelet and wavelet packet denoising of electrocardiogram signal. *Biol Cybern*, 1999;80(4):259-267.
14. Lin J, Laine F, Akinboboye O, Bergmann S. Use of Wavelet Transforms in Analysis of Time-Activity Data from Cardiac PET. *J Nucl Med*, 2001;42(2):194-200.
15. Wang X.H, Istepanian R.S, Song Y.H. Microarray image enhancements by denoising using stationary wavelet transform. *IEEE Trans Nanobioscience*, 2003;2(4):184-9.

16. Chen Z, Ning R. Computerized Medical Imaging and Graphics Breast volume denoising and noise characterization by 3D wavelet transform. *Comput Med Imaging Graph*, 2004;28(5):235-246.
17. Wang Z, Bovik A.C. A universal image quality index. *Ieee Signal Processing Letters*, 2002; 9(3):81-84.